

This Page Is Inserted by IFW Operations  
and is not a part of the Official Record

## BEST AVAILABLE IMAGES

Defective images within this document are accurate representations of the original documents submitted by the applicant.

Defects in the images may include (but are not limited to):

- BLACK BORDERS
- TEXT CUT OFF AT TOP, BOTTOM OR SIDES
- FADED TEXT
- ILLEGIBLE TEXT
- SKEWED/SLANTED IMAGES
- COLORED PHOTOS
- BLACK OR VERY BLACK AND WHITE DARK PHOTOS
- GRAY SCALE DOCUMENTS

## IMAGES ARE BEST AVAILABLE COPY.

**As rescanning documents *will not* correct images,  
please do not report the images to the  
Image Problem Mailbox.**

# PATENT ABSTRACTS OF JAPAN

(11)Publication number : 06-194943  
(43)Date of publication of application : 15.07.1994

(51)Int.Cl. G03G 15/08  
G03G 9/087

(21)Application number : 04-344559  
(22)Date of filing : 24.12.1992

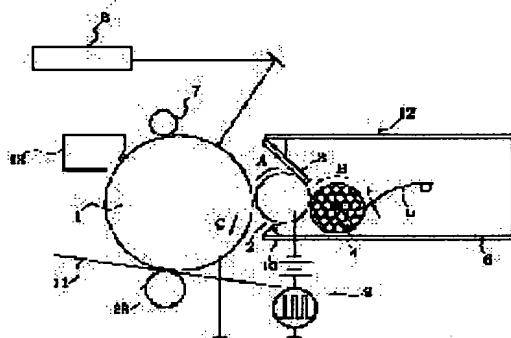
(71)Applicant : CANON INC  
(72)Inventor : SAITO MASUAKI  
KOBAYASHI TETSUYA  
UCHIYAMA AKIHIKO  
KOBAYASHI TATSUYA  
ENOMOTO NAOKI  
SASAME HIROSHI  
KOBAYASHI HIROYUKI

## **(54) DEVELOPING METHOD**

(57) Abstract:

**PURPOSE:** To attain a clear image without fogging while keeping sufficient image density by specifying relation among the circumferential speed of a developing sleeve, toner density and toner sticking quantity.

**CONSTITUTION:** When it is assumed that the circumferential speed of an electrostatic latent image carrier 1 is  $V_d$ (cm/s), the circumferential speed of the developing sleeve 2 is  $V_s$ (cm/s), the toner density is  $\rho$ (g/cm<sup>3</sup>), and the toner sticking quantity on the developing sleeve 2 in M(g/cm<sup>2</sup>), either of following conditions is satisfied:  $0.2 \times 10^{-3} \leq M/\rho < 0.4 \times 10^{-3}$ (cm), and  $(M/\rho) \cdot (V_s/V_d) \geq 0.5 \times 10^{-3}$ (cm). Or  $0.4 \times 10^{-3} < M/\rho < 0.6 \times 10^{-3}$ (cm), and  $(M/\rho) \cdot (V_s/V_d) \geq 0.7 \times 10^{-3}$ . Or  $0.6 \times 10^{-3} \leq M/\rho < 0.7 \times 10^{-3}$ (cm), and  $(M/\rho) \cdot (V_s/V_d) \geq 0.8 \times 10^{-3}$ (cm).



#### **LEGAL STATUS**

[Date of request for examination]

[Date of sending the examiner's decision of rejection]

[Kind of final disposal of application other than the examiner's decision of rejection or application converted registration]

[Date of final disposal for application]

[Patent number]

[Date of registration]

[Number of appeal against examiner's decision of rejection]

[Date of requesting appeal against examiner's decision of rejection]

[Date of extinction of right]

## \* NOTICES \*

Japan Patent Office is not responsible for any damages caused by the use of this translation.

- 1.This document has been translated by computer. So the translation may not reflect the original precisely.
- 2.\*\*\*\* shows the word which can not be translated.
- 3.In the drawings, any words are not translated.

## CLAIMS

## [Claim(s)]

[Claim 1] In a development method of having the following, going by said gap, making a toner in a toner thin layer formed in said developing roller move onto electrostatic latent-image support, and developing an electrostatic latent image When setting [ peripheral velocity of said electrostatic latent-image support / peripheral velocity of Vd (cm/s) and said developing roller ] toner coating weight on rho (g/cm3) and said developing roller to M (g/cm2) for density of Vs (cm/s) and a toner, A development method characterized by satisfying either formula of the following 1, and 2 and 3. A developing roller which kept a gap in electrostatic latent-image support, and has been arranged Toner thin layer means forming which forms a toner thin layer in the surface of this developing roller

$$1.0.2 \times 10^{-3} \leq M/\rho \leq 0.4 \times 10^{-3} \text{ (cm)}$$

$$(M/\rho) \text{ and } (V_s/V_d) \geq 0.5 \times 10^{-3} \text{ (cm)}$$

$$2.0.4 \times 10^{-3} \leq M/\rho \leq 0.6 \times 10^{-3} \text{ (cm)}$$

$$(M/\rho) \text{ and } (V_s/V_d) \geq 0.7 \times 10^{-3} \text{ (cm)}$$

$$3.0.6 \times 10^{-3} \leq M/\rho \leq 0.7 \times 10^{-3} \text{ (cm)}$$

$$(M/\rho) \text{ and } (V_s/V_d) \geq 0.8 \times 10^{-3} \text{ (cm)}$$

[Claim 2] Binding resin of said toner contains polyester resin generated from a monomer constituent which contains the following component (a), (b), (c), and (d) at least as a principal component. Hydroxyl values of this polyester resin are 10–20, and weight average molecular weight is 13000–20000. A development method according to claim 1 characterized by for number average molecular weight being 5000–8000, and ratios of weight-average-molecular-weight (Mw) / number average molecular weight (Mn) being 2–3.5.

A divalent aromatic series system acid component chosen from isophthalic acid, a terephthalic acid, and its derivative (a) 25–35–mol% of the total amount of monomers (b) A trivalent aromatic series system acid component chosen from trimellitic acid and its derivative 2 – four–mol% of the total amount of monomers (c) It is 45 – 60–mol% of the total amount of monomers about 12 – 18–mol% of the total amount of monomers, formation of (d) propoxy, or/and a etherification diphenol component that ethoxylated in a divalent acid component chosen from a dodecenyl succinic acid, an octyl succinic acid, and its anhydride at least.

[Translation done.]

## \* NOTICES \*

Japan Patent Office is not responsible for any damages caused by the use of this translation.

- 1.This document has been translated by computer. So the translation may not reflect the original precisely.
- 2.\*\*\*\* shows the word which can not be translated.
- 3.In the drawings, any words are not translated.

## DETAILED DESCRIPTION

## [Detailed Description of the Invention]

## [0001]

[Industrial Application] This invention relates to the development method of developing an electrostatic latent image using the developer which does not contain the carrier particle in 2 component developer, and the so-called 1 component developer.

## [0002]

[Description of the Prior Art] When using the 1 component developer (henceforth a toner) and developing an electrostatic latent image, a toner obtains the friction charge in which development of a latent image is possible by the developing roller or friction which it is with toner thickness specification-part material further...

[0003] As for the concentration of the record image which, on the other hand, imprints the toner image formed in the latent-image supporter to imprint material, and is obtained, 1.4 to 1.5 or more are desirable at optical density, and in order to obtain this image concentration, it must make [ many ] the amount of the toner which moves onto electrostatic latent-image support from a developing roller. Therefore, in order to obtain sufficient image concentration conventionally, in the case of a magnetic toner, it is the toner coating weight on a developing roller Abbreviation  $1.3 \times 10^{-3} \text{ g/cm}^2$  In the case of a nonmagnetic toner, it is abbreviation  $0.8 \times 10^{-3} \text{ g/cm}^2$  above. It has set up above.

## [0004]

[Problem(s) to be Solved by the Invention] However, the toner near the center of a toner layer having un-arranged [ of polarity being opposite to normal polarity, or fully not being charged ], although the toner a developing roller and near the toner thickness specification-part material can be enough rubbed against these members and will fully be charged in normal, if a toner layer is set up thickly as mentioned above.

[0005] Namely, if the toner which has not been charged in normal receives the force of the electric field which arrived at the development field and were formed of development bias as mentioned above Since it flies towards the part in which the latent image on a photoconductor drum is not formed, and it becomes fogging and many toners whose amount of electrifications is not enough exist, the toner of sufficient amount for the latent-image formation section on a photoconductor drum does not reach, but there is un-arranging [ that development effectiveness will fall ].

[0006] This invention was made in view of the above-mentioned problem, and the place made into the purpose is to offer the developer which attains a clear image without fogging, maintaining sufficient image concentration.

## [0007]

[Means for Solving the Problem] A development sleeve which this invention kept a gap in electrostatic latent-image support, and has been arranged that the above-mentioned purpose should be attained. Toner thin layer means forming which forms a toner thin layer in the surface of this development sleeve is provided. In a development method of going by said gap, making a toner in a toner thin layer formed in said development sleeve move onto electrostatic latent-image support, and developing an electrostatic latent image When setting [ peripheral velocity of said electrostatic latent-image support / peripheral velocity of  $V_d$  (cm/s) and said development sleeve ] toner coating weight on rho ( $\text{g/cm}^3$ ) and said development sleeve to  $M$  ( $\text{g/cm}^2$ ) for density of  $V_s$  (cm/s) and a toner, It is the development method of satisfying either formula of the following 1, and 2 and 3.

## [0008]

$$1.0.2 \times 10^{-3} \leq M/\rho \leq 0.4 \times 10^{-3} (\text{cm})$$

$$(M/\rho) \text{ and } (V_s/V_d) \geq 0.5 \times 10^{-3} (\text{cm})$$

$$2.0.4 \times 10^{-3} \leq M/\rho \leq 0.6 \times 10^{-3} (\text{cm})$$

$$(M/\rho) \text{ and } (V_s/V_d) \geq 0.7 \times 10^{-3} (\text{cm})$$

$$3.0.6 \times 10^{-3} \leq M/\rho \leq 0.7 \times 10^{-3} (\text{cm})$$

$$(M/\rho) \text{ and } (V_s/V_d) \geq 0.8 \times 10^{-3} (\text{cm})$$

## [0009]

[Example] Drawing 1 is image formation equipment equipped with the developer 12 which used the nonmagnetic toner, and the surface of the electrophotography photoconductor drum 1 as electrostatic latent-image support which \*\* four times in the direction of arrow head C with the primary electrification vessel 7 as a printing process is uniformly charged in negative polarity. Subsequently, image exposure is performed by the aligner 8 which makes a laser beam the light source based on image information, and a latent image is formed on a photoconductor drum 1. Next, this latent image is formed into a visible image by reversal development with a nonmagnetic toner with a

development counter 12. The toner image on a photoconductor drum 1 is imprinted on the imprint material 11, and a transfer residual toner is cleaned with a cleaner 13. It is fixed to the imprint material 11 by which the toner image was imprinted by the non-illustrated fixing assembly, and it obtains a permanent image.

[0010] The spreading roller 4 rotates in the direction of arrow head B, and a development counter 12 applies the nonmagnetic toner as a 1 component developer stored in the toner bottle 6 on the development sleeve 2 so that it may have the spreading roller 4 for conveying a toner to the toner conveyance member 5 and about two conductive development sleeve as a developing roller which rotates in the direction of arrow head A and may have relative velocity to the development sleeve 2 in a toner bottle 6. It is more desirable for the spreading roller 4 to be sponge or to perform knurling tool processing or brush-like processing, in order to make this spreading perform good.

[0011] The applied toner is regulated by predetermined thickness with the elastic blade 3. The member of the shape of a sheet, such as polyurethane rubber, is stuck on the member which has elasticity, such as a member simple substance with which the elastic blade 3 has elasticity, such as polyurethane rubber, and phosphor bronze. And the pressure welding of the blade 3 is elastically carried out to the sleeve 2.

[0012] Even regulation of \*\* toner thickness is thinner than the least interval (50–500 micrometers) between a drum 1 and a sleeve 2 in the development section which develops a latent image with a blade 3. Therefore, the so-called non-contact development is performed. That is, a toner flies from a sleeve 2 and adheres to the latent image of a drum 1.

[0013] In order to improve development effectiveness, the oscillating bias voltage which superimposed alternating voltage on direct current voltage from the power supply 9 is impressed to a sleeve 2, and the oscillating electric field which the sense reverses by turns are formed in the development section of this.

[0014] A toner is charged in negative polarity mainly in friction with a sleeve 2, when rubbed by the sleeve 2 with a roller 4, and when passing the nip of a blade 3 and a sleeve 2.

[0015] The result of an experiment of this example in the development counter of the above-mentioned configuration is shown in a table 1. the ratio [ as opposed to / in a table 1, a horizontal train is the amount M of toner support on the developer support after the toner regulation with an elastic blade (g/cm<sup>2</sup>) and / the peripheral velocity of electrostatic latent-image support in a column ] of the peripheral velocity of a development sleeve — it is Vs/Vd, and in this experiment, the peripheral velocity of electrostatic latent-image support is fixed to 6.0 cm/sec., and it carries out adjustable [ only of the peripheral velocity of a development sleeve ]. When, as for the mark in a table, image quality with optical density [ in the paper ] practically sufficient [ 1.5 or more and fogging ] at 1% or less is acquired for "O", when, as for concentration, fogging is a little conspicuous at 1 – 2% sufficiently but, "x" of "\*\*" is [ concentration ] the case where fogging is considerably conspicuous at 2% or more, sufficiently but. Image concentration has thin concentration at 1.5 or less, or "U" is the case where image concentration becomes an ununiformity.

[0016] in addition, it was alike, it set, fogging was measured using the reflection density meter TC-6DS mold by Tokyo Denshoku Co., Ltd., and the value computed from the following formulas was used.

(Reflection factor of the imprint object before image formation) – (reflection factor of the imprint \*\*\*\*\* image section after image formation) (%)

[0017]

[A table 1]

表 1

$\frac{Vs}{Vd}$	0.1 $\times 10^{-3}$	0.2 $\times 10^{-3}$	0.3 $\times 10^{-3}$	0.4 $\times 10^{-3}$	0.5 $\times 10^{-3}$	.6 $\times 10^{-3}$	0.7 $\times 10^{-3}$	0.8 $\times 10^{-3}$	1.0 $\times 10^{-3}$
M (g/cm <sup>3</sup> )									
0.8							ウ		
1.0						ウ	ウ	△	
1.2				ウ	ウ	ウ	○		
1.4				○	○	○			
1.6						○			
1.8		ウ	○	○		○	○	△	×
2.0									
2.2									
2.4									
2.6	ウ	○	○			○	△	×	
2.8									
3.0		○							

[0018] Since the density rho of the nonmagnetic toner used for this example is 1.0 g/cm<sup>3</sup>, if the value of Vd, Vs, rho, and M in a setup of "O" in a table is assigned to the following formulas, the relation of the following formulas will be materialized in all setup.

[0019]

$$1.0 \cdot 2 \times 10^{-3} \leq M/\rho \leq 0.4 \times 10^{-3} \text{ (cm)}$$

$$(M/\rho) \text{ and } (Vs/Vd) \geq 0.5 \times 10^{-3} \text{ (cm)}$$

$$2.0 \cdot 4 \times 10^{-3} \leq M/\rho \leq 0.6 \times 10^{-3} \text{ (cm)}$$

$$(M/\rho) \text{ and } (Vs/Vd) \geq 0.7 \times 10^{-3} \text{ (cm)}$$

$$3.0 \cdot 6 \times 10^{-3} \leq M/\rho \leq 0.7 \times 10^{-3} \text{ (cm)}$$

$$(M/\rho) \text{ and } (Vs/Vd) \geq 0.8 \times 10^{-3} \text{ (cm)}$$

[0020] In addition, the density of a toner says the thing of the weight per unit volume in melting and the condition of having solidified and having considered as the solid material, on these specifications for not a thing but the toner of weight per unit volume of fine particles.

[0021] Next, the case where a magnetic toner is used is explained based on drawing 2. Since the configuration of the equipment except a development counter is the same as that of the image formation equipment of drawing 1,

explanation is omitted. The development counter has the container 17 which held magnetic 1 component developer 14 which does not contain a carrier particle, i.e., an insulating magnetism toner. By the nonmagnetic development sleeves 19, such as aluminum, stainless steel, etc. which rotate in the direction of an arrow head, a toner is carried out from a container and conveyed by the development section 21. In the development section 21, the minimum interval was kept at 50–500 micrometers, and the electrophotography photoconductor drum 1 and the development sleeve 19 as electrostatic latent-image support have countered. And a toner is given and developed by the electrostatic latent image in this development section 21.

[0022] The thickness of the magnetic toner layer conveyed by the development section is regulated by the blade 16. Blades are the magnetic substance, such as iron, and have countered through the magnetic pole N1 and the development sleeve 19 of a magnet 15 by which quiescence arrangement was carried out into the development sleeve 19 in between. Therefore, the line of magnetic force from a magnetic pole N1 focuses to a blade 16, and a magnetic curtain strong between a blade 16 and the development sleeve 19 is formed. On the development sleeve 19, the magnetic toner layer 22 thinner than the gap between a blade 16 and the development sleeve 19 is formed with this magnetic curtain.

[0023] By impressing oscillating bias voltage to a sleeve 19 from a power supply 9, the toner on a sleeve 19 is made to fly towards a drum 1, and adheres to a latent image.

[0024] A toner is charged mainly by friction with a sleeve 19.

[0025] The experimental result by the development counter of the above-mentioned configuration is shown in a table 2. Since the density rho of the magnetic toner used for this example is 1.5 g/cm<sup>3</sup>, if the value of Vd, Vs, rho, and M in a setup of "O" in a table is assigned to the above-mentioned formula like the case of nonmagnetic monocomponent toner, the relation of the above-mentioned formula will be materialized in all setup.

[0026]

[A table 2]

表 2

$\frac{M}{V_s}$ (g/cm³)	0.2 $10^{-8}$	0.3 $10^{-8}$	0.4 $10^{-8}$	0.5 $10^{-8}$	0.6 $10^{-8}$	0.7 $10^{-8}$	0.8 $10^{-8}$	0.9 $10^{-8}$	1.0 $10^{-8}$	1.1 $10^{-8}$	1.2 $10^{-8}$	1.3 $10^{-8}$	1.4 $10^{-8}$	1.5 $10^{-8}$
0.8										ウ				
1.0										ウ				
1.2										○				
1.4						ウ	○	○						
1.6					ウ									
1.8		ウ	○	○					○	○	△	×		
2.0														
2.2														
2.4														
2.6	ウ	○			○				○	×				
2.8														
3.0	ウ	○												

[0027] By the way, in order to fully electrify a toner, it is desirable to use the fluid outstanding toner.

[0028] By using a toner excellent in the fluidity, while being able to attain the formation of a uniform toner coat layer and friction charge grant on a development sleeve, in a development field, toner flight is performed good according to impression of development bias, and imaging can be carried out [ a visible image ] as a toner image faithful to a latent image, without forming the condition that the toner particle condensed to the latent image on a photoconductor drum by the ability of formation of a uniform powder cloud to be performed.

[0029] The fluidity index in drawing 3 contains resin and a coloring matter at least, it adheres in homogeneity to fluid improvement material strongly, so that this numeric value is small, and it is the index of how much fluid improvement material has adhered in homogeneity to the classification article surface which is the volume mean particle diameter of 5-12 micrometers strongly, and its fluidity improves.

[0030] Conventionally, the measuring method of a toner fluidity index took the following methods with the well-known powder circuit tester ( PT[ by Hosokawa Micron CORP. ]-D mold), and measured. Measurement environment is set to 23 degrees C and 60%RH.

[0031] After leaving a toner under measurement environment for 12 hours, weighing capacity of the 5.0g is carried out correctly. The sieve of 100 meshes (150 micrometers of openings), 200 meshes (75 micrometers of openings),

and 400 meshes (38 micrometers of openings) is set to a shaking table in piles from a top.

[0032] The 5.0g toner which carried out weighing capacity correctly is calmly vibrated for 15 seconds with the back of a sieve (on 100 meshes) 2, and the amplitude of 1mm.

[0033] The amount of toners which remained on each sieve calmly is weighed precisely.

[0034] (Amount (gof toners) which remained on 100 meshes) / 5x100 .... a(amount of toners which remained on 200 meshes (g))/5x100x3/5 .. b(amount of toners which remained on 400 meshes (g))/5x100x1/5 .. c fluidity-index (%)

=a+b+c [0035] In drawing 1, as for a setup of a development counter, and Vs, Vd and M, concentration is obtained by the experiment of drawing 3 1.5 or more, using a nonmagnetic toner, and fogging is also 1% or less.

[0036] Relation like drawing 3 is obtained from the value of the fluidity index of the toner obtained from the above-mentioned formula, and the value of fogging on a transfer paper.

[0037] Since formation of a powder cloud is performed very actively when a toner arrives at [ a fluidity index ] a development field in 2% or less of field in drawing 3, scattering of a toner becomes remarkable in using the nonmagnetic toner which cannot regulate the toner especially by the MAG.

[0038] If a fluidity index becomes high, a motion of a toner worsens at the time of the friction charge grant by the specification part, when the count of contact with a blade or a development sleeve becomes fewer, a toner will stop fully charging and reversal toners will increase in number.

[0039] If a fluidity index exceeds 20% as shown in drawing 3, the value of fogging will exceed 3%. For this reason, in order to obtain the high-definition image with which fogging is not conspicuous, as for the fluidity index of the toner to be used, it is desirable that it is 20% or less.

[0040] Since it is desirable for the value of fogging in a monochrome image to be 1% or less in order to stop the total amount of fogging in the color picture formation equipment on which many especially toner images are put, the fluidity index of a toner becomes 10% or less.

[0041] However, when the fluidity index mentioned above uses 20% or less of toner for the developer shown in drawing 1. Since the fluidity of a toner is good, a toner tends to flow into the crevice between each configuration member in a development counter 12 easily. Since a toner is supplied from the conveyance member 5, without supplying the development sleeve 2, especially the toner that entered the crevice if it was in the developer with which the big crevice was formed between spreading roller 4 edge and the toner bottle 6 wall section will cause toner condensation.

[0042] When the peripheral-speed ratio of a photoconductor drum and a development sleeve is still higher, in order to rotate at high speed, while the stress which joins a toner increases, in order to carry out the temperature rise of the spreading roller 4 and the development sleeve 2, the condensed toner has a possibility of carrying out \*\*\*\*\* solidification gradually, under hot environments (room temperature of 30 degrees C or more).

[0043] As for the glass transition temperature ("Tg" is called hereafter) of this to a toner, it is desirable that it is 60 degrees C or more. Moreover, since each color toner needs to carry out \*\*\*\*\* color mixture uniformly at the time of fixing in order to obtain good color reproduction when forming a color picture for cyanogen, a Magenta, yellow, and the toner image of four colors of black in piles especially and it is necessary to use the low toner of toner softening temperature, as for Tg, it is desirable that it is 67 degrees C or less.

[0044] Measurement of Tg was measured using a differential-thermal-analysis measuring device (DSC measuring device) and DSC-7 (PerkinElmer, Inc. make). A test portion carries out weighing capacity of the 5-20mg 10mg to a precision preferably. This is put in into an aluminum pan, and using the empty aluminum pan as a reference, the next actuation is performed in order to eliminate all hysteresis first. It is made to go up by 10 degrees C / min from a room temperature to 200 degrees C under N2 ambient atmosphere, and maintains for 10 minutes at 200 degrees C. It quenches after that and maintains for 10 minutes at lowering and 10 degrees C to 10 degrees C. Then, it goes up to 200 degrees C by the programming rate of 10 degrees C / min. The endothermic peak of the Maine peak in the range of 40-100-degree C temperature is acquired with this programming rate. Let the intersection of the middle line of the base line of the back before an endothermic peak comes out at this time, and a differential heat curve be the glass transition temperature Tg in this invention (refer to drawing 4 ).

[0045] When becoming possible to prevent fogging still more certainly by setting [ in the case of monochrome image formation ] up the fluidity index of a toner to 2 - 10% 2 to 20% like the above in color picture formation and forming a color picture using nonmagnetic monocomponent toner, by making Tg of a toner into 67 degrees C from 60 degrees C, there is no possibility that toner welding may occur under hot environments, and it becomes possible to also attain sufficient color reproduction nature.

[0046] When the toner indicated by Japanese Patent Application No. No. 152219 [ four to ] in this example was used, as described above, high-definition images also with the enough color reproduction at the time of fixing without fogging were obtained, and toner welding was not generated under hot environments (30 degrees C).

[0047] The binding resin of a toner with the toner which \*\*(ed) and was indicated by the above-mentioned application The following component (a), The polyester resin generated from the monomer constituent which contains (b), (c), and (d) at least is contained as a principal component. It is the toner characterized by for the hydroxyl values of this polyester resin being 10-20, for weight average molecular weight being 13000-20000, for number average molecular weight being 5000-8000, and the ratios of weight-average-molecular-weight (Mw) / number average molecular weight (Mn) being 2-3.5.

[0048] The divalent aromatic series system acid component chosen from isophthalic acid, a terephthalic acid, and its derivative (a) 25-35-mol% of the total amount of monomers (b) The trivalent aromatic series system acid component chosen from trimellitic acid and its derivative 2 - four-mol% of the total amount of monomers (c) It is 45

- 60-mol% of the total amount of monomers about 12 - 18-mol% of the total amount of monomers, the formation of (d) propoxy, or/and the etherification diphenol component that ethoxylated in the divalent acid component chosen from a dodecetyl succinic acid, an octyl succinic acid, and its anhydride at least.

[0049] Drawing 5 explains the following example. In addition, what carries out the same configuration operation as the example of drawing 1 attaches the same sign, and omits explanation.

[0050] From the member in which the elastic blade 3 has elasticity, such as polyurethane rubber and phosphor bronze, in drawing 5 — changing — the electrification polarity of a toner — reversed polarity — and the member 24 of the shape of a sheet which has the property in which it is charged strongly is stuck on the toner and the portion which \*\*\*.

[0051] Although nylon, cellophane, etc. which show the property of just being charged strongly as a sheet member are used in order that the toner used for this example may show negative electrification nature, the point of pair abrasiveness and environmental stability etc. to nylon is desirable.

[0052] The amount of electrifications of the toner under each environment in the case where the blade of only polyurethane rubber and the blade which stuck the nylon sheet on the surface of polyurethane rubber are used, and the relation of image quality are shown in a table 3.

[0053] As for a setup of a development counter, and Vs, Vd and M, concentration is obtained by the experiment of a table 3 1.5 or more like the example of drawing 1 under the environment of 23 degrees C and 50%RH, using a nonmagnetic toner, and fogging is also 1% or less.

[0054] In performing this comparison examination, in the case of the blade of only polyurethane rubber, compared with the blade which stuck the nylon sheet, the contact pressure to the development sleeve of a blade is highly set up so that both friction may become almost equal under the environment of ordinary temperature normal relative humidity.

[0055]

[A table 3]

表 3

帶電量 ( $\mu$ C/g) 画質	23°C 50% R.H.	15°C 10% R.H.	30°C 80% R.H.
ウレタンゴムのみ	-15 ○	-40 濃度不足	-6 カブリ多し
ナイロンシート 貼り付け	-18 ○	-20 ○	-15 ○

[0056] Only in the case of polyurethane rubber, since the set pressure of a blade is high under low-humidity/temperature environment, a toner carries out [ a blade ] the charge up too much, concentration runs short, and reversal fogging has occurred under a high-humidity/temperature environment, without the ability fully giving a friction charge to a toner so that clearly from a table 3. On the other hand, when the sheet of strong positive electrification nature is used for a blade, without being influenced by environment only from polyurethane rubber, it turns out that the friction charge is certainly given to the toner, and it turns out that fogging is not generated further, either.

[0057] If it is made a setup which satisfies image concentration and fogging under the environment of ordinary temperature normal relative humidity like an example 1 by using the sheet which carries out frictional electrification to a blade at a toner and reversed polarity as explained above, it will become possible to be stabilized under the environment of low-humidity/temperature from under the environment of heat and high humidity, and to attain high definition.

[0058]

[Effect of the Invention] In the above explanation, in order to attain the concentration of enough images, keeping the toner layer on a development sleeve thin, according to this invention, fogging is not generated, so that clearly.

[Translation done.]

**\* NOTICES \***

Japan Patent Office is not responsible for any damages caused by the use of this translation.

- 1.This document has been translated by computer. So the translation may not reflect the original precisely.
- 2.\*\*\*\* shows the word which can not be translated.
- 3.In the drawings, any words are not translated.

---

**DESCRIPTION OF DRAWINGS**

---

**[Brief Description of the Drawings]**

**[Drawing 1]** Explanatory drawing of one example of this invention.

**[Drawing 2]** Explanatory drawing of other examples of this invention.

**[Drawing 3]** Explanatory drawing of the relation between a fluidity index and fogging.

**[Drawing 4]** Explanatory drawing of Tg.

**[Drawing 5]** Explanatory drawing of the example of further others of this invention.

**[Description of Notations]**

**1** Photoconductor Drum

**2** Development Sleeve.

---

**[Translation done.]**

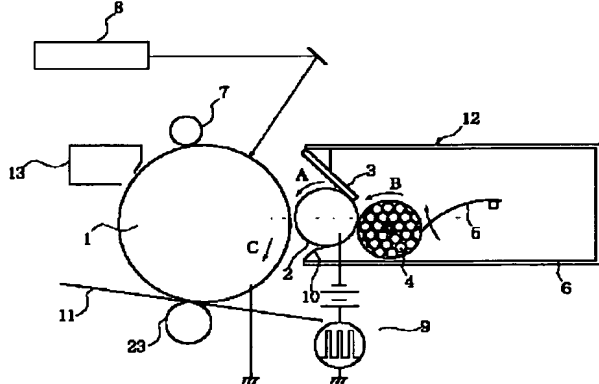
## \* NOTICES \*

Japan Patent Office is not responsible for any damages caused by the use of this translation.

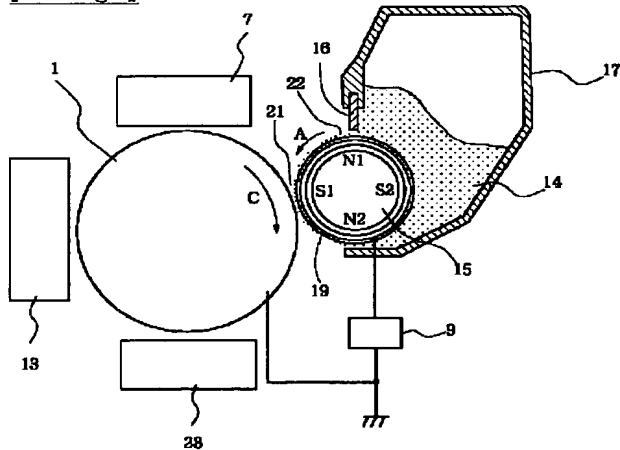
1. This document has been translated by computer. So the translation may not reflect the original precisely.
2. \*\*\*\* shows the word which can not be translated.
3. In the drawings, any words are not translated.

## DRAWINGS

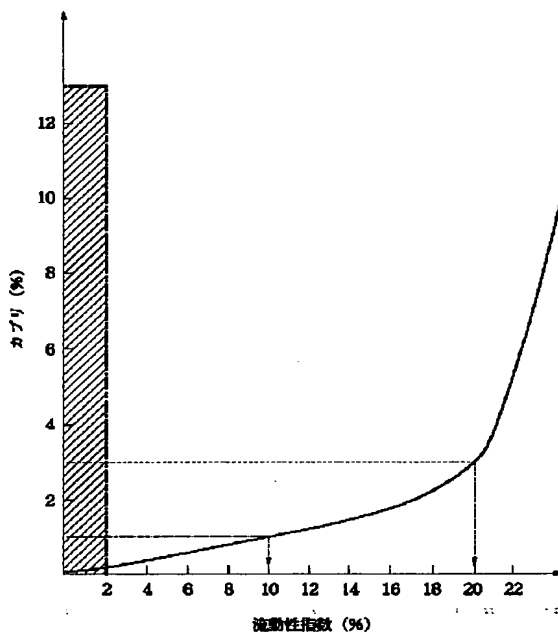
## [Drawing 1]



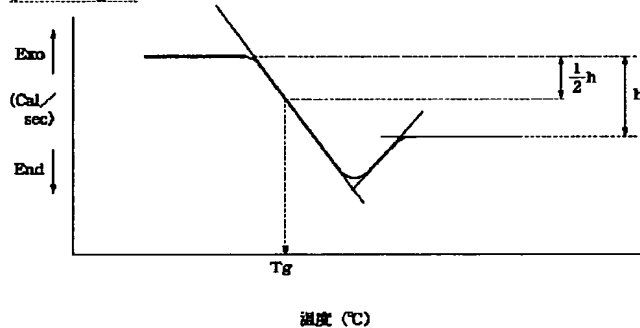
## [Drawing 2]



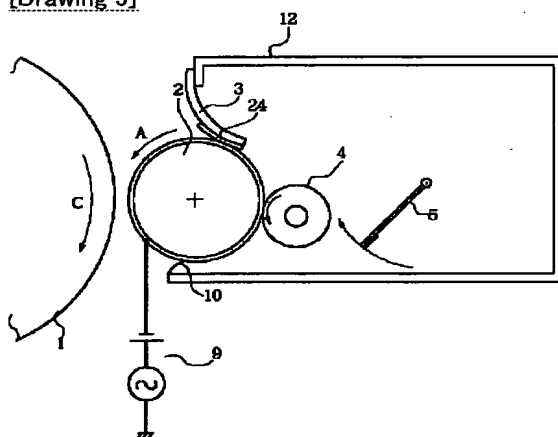
## [Drawing 3]



[Drawing 4]



[Drawing 5]



[Translation done.]

(19)日本国特許庁 (JP) (12)公開特許公報 (A) (11)特許出願公開番号 特開平6-194943  
 (43)公開日 平成6年(1994)7月16日  
 (51)Int.Cl.\* G 03 G 15/08 9/08 9/087  
 (52)出願番号 特願平4-344559  
 (22)出願日 平成4年(1992)12月24日  
 (71)出願人 キヤノン株式会社  
 東京都大田区下丸子3丁目30番2号  
 (72)発明者 斎藤 益朗  
 東京都大田区下丸子3丁目30番2号キヤノン株式会社内  
 (72)発明者 小林 哲也  
 東京都大田区下丸子3丁目30番2号キヤノン株式会社内  
 (74)代理人 井理士 九島 優一  
 最終頁に続く

(54)【発明の名称】現像方法  
 (57)【要約】  
 【目的】1成分現像前に、より、カブリのない高濃度の画像を形成すること。  
 【構成】感光ドラム1の周速度をVd、現像スリーブ2の周速度をVs、トナーの密度をρ、トナー1付着量をMとした時、M/ρとVs/Vdとの間に所定の関係が成立するようになる。

## (54)【発明の名称】現像方法

【目的】1成分現像前に、より、カブリのない高濃度の画像を形成すること。  
 【構成】感光ドラム1の周速度をVd、現像スリーブ2の周速度をVs、トナーの密度をρ、トナー1付着量をMとした時、M/ρとVs/Vdとの間に所定の関係が成立するようになる。

## 【発明の詳細な説明】

## [0 0 0 1]

【産業上の利用分野】本発明は2成分現像剤におけるキャリア粒子を含まない現像剤、所謂1成分現像剤を使用して静電潜像を現像する現像方法に関する。

## [0 0 0 2]

【従来の技術】1成分現像剤(以下トナーと言う)を用いて静電潜像を現像する場合、トナーは現像ローラ、或いは更にトナー層單層制御部材との摩擦により潜像を現象可能な摩擦剤を得る。

[0 0 0 3]一方、潜像保持体に形成されたトナー像を

## 【特許請求の範囲】

【請求項1】静電潜像保持体に間隙を置いて配置された現像ローラと、この現像ローラの表面にトナー1層を形成するトナー1層形成手段とを具備し、前記現像ローラに形成されるトナー1層中のトナーを前記間隙をよぎって静電潜像保持体上に移動せしめて静電潜像を顕像化する現像方法において、前記静電潜像保持体の周速度をVd (cm/s)、前記現像ローラの周速度をVs (cm/s)、トナーの密度をρ (g/cm<sup>3</sup>)、前記現像ローラ上のトナー1層着量をM (g/cm<sup>2</sup>)とするとき、下記1、2、3のいずれかの式を満足することを特徴とする現像方法。

1.  $0.2 \times 10^{-3} \leq M/\rho < 0.4 \times 10^{-3}$  (cm)  
 2.  $0.4 \times 10^{-3} \leq M/\rho < 0.6 \times 10^{-3}$  (cm)  
 3.  $0.6 \times 10^{-3} \leq M/\rho \leq 0.7 \times 10^{-3}$  (cm)

(M/ρ) · (Vs/Vd) ≥ 0.5 × 10<sup>-3</sup> (cm)  
 (M/ρ) · (Vs/Vd) ≥ 0.7 × 10<sup>-3</sup> (cm)  
 (M/ρ) · (Vs/Vd) ≥ 0.8 × 10<sup>-3</sup> (cm)

【請求項2】前記トナーの粘着樹脂が、下記成分(a)、(b)、(c)、及び(d)を少なくとも含有する単体或は複数の組合せから生成されたシリエスチル樹脂を主成分として含有し、該シリエスチル樹脂の水酸基価が1.0～2.0であり、重量平均分子量が13000～20000であり、数平均分子量が5000～8000である。(Mw)/数平均分子量 (Mn) の比が2～3.5であることを特徴とする請求項1に記載の現像方法。

(a) イソフタル酸、テラフェタル酸及びその誘導体より選ばれた2種の芳香族系酸成分を全モノマー量の2.5～3.5mоль%、

(b) トリメリット酸及びその誘導体より選ばれた3種の芳香族系酸成分を全モノマー量の2～4mоль%、

(c) ドセニルコハク酸、オクチルコハク酸及びその無水物よりも選ばれた2種の酸成分を全モノマーラインの1.2～1.8mоль%、

(d) プロポジカル酸または及びエトキシ化したエーテルジフェノール成分を全モノマー量の4.5～6.0mоль%。

【発明の詳細な説明】

## [0 0 0 4]

【発明が解決しようとする課題】しかしながら、上記のようにトナー層を厚く設定すると現像ローラやトナー層厚規制部材近傍にあるトナーはこれらの部材と十分摩擦できて規則性ビ反対となつていたりするトナーの層が正規性ビ反対といふ不都合がある。

か、あるいは十分に帶電されないと現像ローラやトナー層厚規制部材近傍にあるトナーは現像ローラやトナー層の中心附近で規則性ビ反対となる現像方法。

【発明が達成する效果】しかししながら、上記

ようにトナー層を薄く設定すると現像ローラやトナー層厚規制部材近傍におけるトナーは現像ローラやトナー層の中心附近で規則性ビ反対となる現像方法。

【課題を解決するための手段】上記目的を達成すべく本

発明は、静電潜像保持体に間隙を有するトナー層を形成するトナー層形成手段とを具備し、前記現像スリーブに形成されるトナー層中のトナーを前記間隙をよぎって静電潜像保持体上に移動させて静電潜像を顕像化する現像方法において、前記静電潜像保持体の周速度をVd (cm/m/s)、前記現像スリーブの周速度をVs (cm/m/s)、トナーの密度をρ (g/cm<sup>3</sup>)、前記現像スリーブ上のトナー1層着量をM (g/cm<sup>2</sup>) とするとき、下記1、2、3のいずれかの式を満足する現像方法である。

## [0 0 0 5]

1.  $0.2 \times 10^{-3} \leq M/\rho < 0.4 \times 10^{-3}$  (cm)  
 2.  $0.4 \times 10^{-3} \leq M/\rho < 0.6 \times 10^{-3}$  (cm)  
 3.  $0.6 \times 10^{-3} \leq M/\rho \leq 0.7 \times 10^{-3}$  (cm)

(M/ρ) · (Vs/Vd) ≥ 0.5 × 10<sup>-3</sup> (cm)  
 (M/ρ) · (Vs/Vd) ≥ 0.7 × 10<sup>-3</sup> (cm)  
 (M/ρ) · (Vs/Vd) ≥ 0.8 × 10<sup>-3</sup> (cm)

【実施例】図1は非活性トナーを用いた現像装置1を構成した画像装置であり、印字ローストとして一次

帯電器7によって矢印C方向に回転する静電潜像保持体

50 帯電器7によって矢印C方向に回転する静電潜像保持体

3 としての電子写真感光ドラム1の表面が一様に接着性に  
帯電される。次いで画像情報に基づきレーザービームを  
光源とする露光装置8により画像露光が行われ、感光ド  
ラム1上の潜像が形成される。次にこの潜像は現像器1  
2にて非磁性トナーで反転現像により可視像化され  
る。

【0013】現像器1の表面が一様に接着性に  
帯電され、これに印加された振動バイアス  
電圧9から直流電圧に交流電圧を重畠した振動バイアス  
電圧とする。そこでこの現像部には向きが交互に  
反転する振動電界が形成される。

【0014】トナーはローラ4によりスリープ2にこす  
り付けられる時、及びフレード3ヒスリープ2とのニッ  
プを通して通過する時、主としてスリープ2との摩擦で負極性  
に帯電される。

【0015】上記構成の現像器における本実施例の其  
他の結果を表1に示す。表1において、欄別は弹性フレー  
ドによるトナー規制後の現像部相持体上のトナー相持量  
M(g/cm<sup>2</sup>)であり、綫別は静電潜像相持体の周速  
度に対する現像スリープの周速度の比V<sub>s</sub>/V<sub>d</sub>であ  
り、本実験では静電潜像相持体の周速度を6.0cm/  
sec.に固定し、現像スリープの周速度のみを可変さ  
せている。表中の記号は、『○』が紙上の光学密度が  
1.5以上、カブリが1%以下で裏用上十分な画質が得  
られた場合、『△』は濃度は十分だがカブリが1~2%  
でやや目立つ場合、『×』は濃度は十分だがカブリが2  
%以上でかなり目立つ場合である。『ウ』は濃度が1.  
5以下で画像濃度が薄いか、画像濃度が不均一になる場  
合である。

【0016】塗られたトナーは弹性フレード3により  
所定の層厚に規制される。弹性フレード3はウレタンゴ  
ム等の弹性を有する部材構体か、リン青酸等の強性を有  
する部材にウレタンゴム等のシート状の部材が貼り付け  
てある。そしてフレード3はスリープ2に弹性的に圧接  
されている。

【0017】フレード3で規制されたトナー層厚は、潜  
像を現像する現像部において、ドラム1とスリープ2間  
の最小間隙(50~500μm)よりも薄い。従って所  
謂非接触現像が行われる。即ち、トナーはスリープ2か  
ら飛翔してドラム1の潜像に付着する。

4 現像器1はトナー容器6内にトナー一搬送  
部材5と、矢印A方向に回転する現像部ローラとしての導  
電性の現像スリープ2近傍にトナーを搬送するための塗  
布ローラ4を有し、現像スリープ2に対して相対速度を  
有するよう、塗布ローラ4は矢印B方向に矢印C方向に  
トナー容器内に貯蔵された一成形現像糊としての非磁性  
トナーを現像スリープ2上に塗布する。この塗布が良好  
に行わせるために、塗布ローラ4はスピンドルであるか、  
ローレット加工またはブッシュ状加工が施されている方が  
好ましい。

【0018】塗られたトナーは弹性フレード3により  
所定の層厚に規制される。弹性フレード3はウレタンゴ  
ム等の弹性を有する部材構体か、リン青酸等の強性を有  
する部材にウレタンゴム等のシート状の部材が貼り付け  
てある。そしてフレード3はスリープ2に弹性的に圧接  
されている。

【0019】フレード3で規制されたトナー層厚は、潜  
像を現像する現像部において、ドラム1とスリープ2間  
の最小間隙(50~500μm)よりも薄い。従って所  
謂非接触現像が行われる。即ち、トナーはスリープ2か  
ら飛翔してドラム1の潜像に付着する。

M (g/cm <sup>2</sup> ) ×10 <sup>-3</sup>	0.1 ×10 <sup>-3</sup>	0.2 ×10 <sup>-3</sup>	0.3 ×10 <sup>-3</sup>	0.4 ×10 <sup>-3</sup>	0.5 ×10 <sup>-3</sup>	0.6 ×10 <sup>-3</sup>	0.7 ×10 <sup>-3</sup>	0.8 ×10 <sup>-3</sup>	1.0 ×10 <sup>-3</sup>
V <sub>s</sub> /V <sub>d</sub>									
0.8									
1.0									
1.2									
1.4									
1.6									
1.8									
2.0									
2.2									
2.4									
2.6									
2.8									
3.0									

【0018】本実施例に用いた非磁性トナーの密度ρは  
1.0g/cm<sup>3</sup>であるため、表中の『○』の設定にお  
けるV<sub>d</sub>、V<sub>s</sub>、ρ、Mの値を以下の式で代入すると、  
全ての設定において以下の式の関係が成立する。

## 【0019】

1.  $0.2 \times 10^{-3} \leq M / \rho < 0.4 \times 10^{-3}$  (cm<sup>2</sup>)  
 $(M / \rho) \cdot (V_s / V_d) \geq 0.5 \times 10^{-3}$  (cm)
2.  $0.4 \times 10^{-3} \leq M / \rho < 0.6 \times 10^{-3}$  (cm)  
 $(M / \rho) \cdot (V_s / V_d) \geq 0.7 \times 10^{-3}$  (cm)
3.  $0.6 \times 10^{-3} \leq M / \rho \leq 0.7 \times 10^{-3}$  (cm)  
 $(M / \rho) \cdot (V_s / V_d) \geq 0.8 \times 10^{-3}$  (cm)

粉体の単位体積当りの重量の事ではなく、トナーを溶  
融、固化して固型物とした状態での単位体積当りの重量  
の事を言う。

【0021】次に磁性トナーを用いた場合について図2  
をもとに説明する。現像器を除く装置の構成は図1の画  
像形成装置と同様であるため説明を省略する。現像器は  
キャリア粒子を含まない磁性1成分現像剤、即ち純粋な  
磁性トナー14を收容した容器17を有している。トナ  
ーは矢印方向に回転するアルミニウム、ステンレス鋼等  
の半磁性現像スリープ19によって容器から持ち出さ  
れ、現像部21に搬送される。現像部21においては静  
電潜像担持体としての電子写真感光ドラム1と現像シリ

【0020】尚、本明細書でトナーの密度というのは、  
電潜像担持体としての電子写真感光ドラム1と現像シリ

(6)

一ブレード 1.9 は最小間隔が 5.0 ~ 500 μm に保たれ方向にトロリーベルト 2.1 において静電潜像にトロリーベルト 2.1 が付与され現像される。[0022] 現像部に搬送される磁性トナー層の厚みはブレード 1.6 によって制限される。ブレードは数等の磁石であり、現像スリーブ 1.9 内に静止配置された磁石 1.5 の磁極 N と現像スリーブ 1.9 を間に介して対向している。従って、ブレード 1.6 に対して磁極 N からの間隙を維持する磁性カーラーが集中し、ブレード 1.6 により強力磁性カーラーが形成される。この磁性カーラーにトロリーベルト 1.9 上にはブレード 1.6 と現像スリーブ 1.9 の間に強力磁性カーラー 1.9 が形成される。この強力磁性カーラーによる現像スリーブ 1.9 上にはトロリーベルト 1.9 の間隔よりも薄い磁性トナー層 2.2 が形成される。

0 0 0 2 3 1 スリープ 1 9 上のトナーは、スリープ 1 9  
 電源 9から振動バイア電圧を印加することによりド  
 ム 1に向けた射線が止められ、像像に付着する。  
 0 0 0 2 4 1 トナーは主としてスリープ 1 9との摩擦に  
 より帶電する。  
 0 0 0 2 5 1 上記構成の現像器による実験結果を表 2 に  
 示す。本実験例に用いた磁性トナーの密度  $\rho$  は 1. 5 g  
 cm<sup>-3</sup>であるため、非磁性一分子トナーの場合と同様  
 表 2 の「10」の般定における  $V_d$ 、 $V_s$ 、 $\rho$ 、 $M$  の値  
 上記の式に代入すると、全ての般定において上記の式  
 が成立する。

「にラ「よ「示ノにをの「」

10

ト は 磁 石 に し の 間 に 一 さ

対向像にのみ厚み

され、電潜の音の  
は鉄は鐵され  
して、N1  
ブルー  
カーブ現像  
2が

【保力】静音  
【静音】一片  
【ドア】ドア作  
【配置】配置  
【介】介  
【極】極  
【一】一  
【気】気  
【と】と  
【現】現  
【2】2

トナレ一層止重間にて強スリの極の16

0 μ  
於磁性  
ブリ  
に静  
のを  
樹し  
現像  
コード  
トナ

～5  
部2  
。  
され  
され  
1 S  
ープ  
1 6  
1 6  
され  
はフ  
い盛

50 現像

が  
象され  
るが  
つけて  
リ、リ、  
見像、  
レ、レ、  
レ、レ、  
ーが  
19.  
り、

現 6に、現 N1 つて申し カー リー の間

月はそれを付与するが、従事者間の間には極めて集氣象ス

現地 90

ーナー  
てい  
ナーナー  
10  
ブレ  
性体  
15  
てい  
磁力  
に強  
より  
ブ1  
れる

1.4			○	○	○	○	○	○
1.6			○					
1.8		○	○	○	○	○	△	×
2.0								
2.4								
2.6		○			○		○	×
2.8								
3.0		○						

[0027] ところで、トナーを十分に帯電させるためには、流動性の優れたトナーを用いる事が好ましい。  
 [0028] 流動性が優れているトナーを用いる事で、電荷スリーブによる一トナー一コート層の形成と医療着しているかの指標であり、この数値が小さければ流動性は向上され、流動性は向上するものである。

のバウダーテスター（ホシワミクロン社製 PT-1）

トナーを別容器下に1.2時間放置した。測定範囲を  
 $0.03\text{--}0.06\text{ RHT}$ とする。この方法によれば、均一な  
 $3^\circ\text{C}$ の環境下で測定することができる。

後、 $5.0 \text{ g}$  を正確に秤量する。振動台上に、上から 1  
0 メッシュ (目開き  $1.50 \mu\text{m}$ )、200 メッシュ (

樹脂及び着色材を含有し、体積平均粒径 5.1~12.4 μm で  
開き 75 μm)、400 メッシュ (目開き 3.8 μm)  
を用いてセッティングする。

12

[0032] 正確に評価した5.0 gのトナーを静かにふり、(1.0メッシュ上)2の背、振幅1mmで1.5秒間振動させる。

[0033] 静かに各ふるいの上に残ったトナー量を秤する。

[0034] (1.0メッシュ上)に残ったトナー量 (g) / 5 × 100 .....<sup>a</sup>

(2.0メッシュ上)に残ったトナー量 (g) / 5 × 100 × 3 / 5 .....<sup>b</sup>

0.0メッシュ上)に残ったトナー量 (g) / 5 × 100 × 1 / 5 .....<sup>c</sup>

流動性指數 (%) = a + b + c

[0035] 図3の実験には非磁性トナーを用い、また、現像器、V<sub>s</sub>、V<sub>d</sub>、Mの設定は図1において温度が1.5以上得られるまで1.0°C/minで上昇させ20°Cで10分間保つ。その後、昇温速度1.0°C/minで20°Cまで上昇する。この昇温速度で温度4.0~10.0°Cの範囲におけるメインビーグクが得られる。この時吸熱ビーグクが出る前後のベースラインの中間の燃と示差熱曲線との交点を本発明におけるガラス転移温度T<sub>g</sub>とする(図4参照)。

[0036] 上記の式より得られるトナーの流動性指數の値と秤量紙上のカブリの値から図3のよろづな関係が導かれる。

[0037] 図3において流動性指數が2%以下の領域では、トナーが現像領域に達した際に、非常にパワーフラウドの形成が行われるため、特に磁気にによるトナーの規制を行いう事のできない非磁性トナーを用いる場合にはトナーの頭著となる。

[0038] 流動性指數が高くなると、規制部での摩擦電荷抑制にトナーの動きが悪くなり、トードまたは現像スリーブとの接触回数が減る事によりトナーが十分に帶電されなくなり、反転トナーが多くなる。

[0039] 図3に示すように流動性指數が2.0%を超えるとカブリの値が3%を越えてしまう。このためカブリの目立たない高画質の画像を得るためにには使用するトナーの流動性指數は2.0%以下である事が望ましい。

[0040] 特に多数のトナー像を重ねるカラー画像形成装置においては、トータルのカブリ量を抑えるために单色画像でのカブリの値は1%以下である事が望ましい。

[0041] ところが、上述した流動性指數が2.0%以下のトナーを用いた場合、トナーの流動性が良好なため現像器1.2内の各構成部材間に隙間にトナーが容易に流れ込み易く、特に送布ローラ4の端部にトナー容器6内壁部間に大きな隙間が形成された現像装置にあっては、隙間に入り込んだトナーは現像スリーブ2に供給される事無く搬送部材5からトナーが供給されるためトナー詰塞を招いてしまう。

[0042] さらに感光ドームと現像スリーブとの周速比が高い場合には、送布ローラ4、現像スリーブ2は高速で回転するためトナーにかかるストレスが増大すると共に温度上昇するため、結果的にトナーは高温環境下(温度3.0℃以上)では徐々に融けて固化してしまう事がわざる。

[0043] このことからトナーのガラス転移温度(以下、「T<sub>g</sub>」と称す)は6.0°C以上である事が好ましい。また、特にシアン、マゼンタ、イエロー、ブラックの4色のトナー像を重ねて形成する場合、良好的な色表現を重ねるために定着時に各色トナーが一様に離れて離れる必要があるため、トナー軟化点の低いトナーを用いる必要があるため、T<sub>g</sub>は6.7°C以下である事が好ましい。

[0044] T<sub>g</sub>の測定は差差熱分析測定装置(DSC測定装置)、DSC-7(イバーキンエルマー社製)を用いて測定した。測定試料は5~20mg、好ましくは1.0mgを精密に秤量する。これをアルミバンの中に入れ、リフレンジスとしての空アルミバンを用い、先が全室温から20.0°Cまで1.0°C/minで上昇させ20°Cで10分間保つ。その後急冷し1.0°Cまで下げ、1.0°Cで10分間保つ。その後、昇温速度1.0°C/minで20.0°Cまで上昇する。この昇温速度で温度4.0~10.0°Cの範囲におけるメインビーグクが得られる。この時吸熱ビーグクが出る前後のベースラインの中間の燃と示差熱曲線との交点を本発明におけるガラス転移温度T<sub>g</sub>とする(図4参照)。

[0045] 以上の如くトナーの流動性指數を半色画像形成の場合2~20%、カラーバー画像形成の場合2~10%に設定する事により、更に確実にカブリを防止する事が可能となり、また、非磁性一成分トナーを用いてカラーバー画像を形成する場合に、トナーのT<sub>g</sub>を6.0°Cから6.7°Cにする事により、高温環境下においてトナー詰着の発生する事が無く、十分な色再現性も達成する事が可能になる。

[0046] 本実施例において特願平4-152219号に記載されたトナーを用いたところ、上記したようにカブリの無い、定着時ににおける色再現も十分な、高画質の画像が得られ、また高温環境下(3.0°C)においても、トナー詰着は発生しなかった。

[0047] T<sub>g</sub>にして上記出願されたトナーとは、トナーの軽着指數が、下記成分(a)、(b)、(c)及び(d)を少なくとも含有する単體又は組合物から生成されたポリエチル樹脂を主成分として含有し、該ポリエチル樹脂の水酸基値が1.0~2.0であり、重量平均分子量が5,000~8,000であり、重量平均分子量(M<sub>w</sub>)/数平均分子量(M<sub>n</sub>)の比が2~3.5であることを特徴とするトナーである。

[0048] (a) イソブチル酸、デブタル酸及びその誘導体より選択された2種の芳香族系酸成分を全モル量の2.5~3.5mol%、(b) トリメチト酸及びその誘導体より選択された3種の芳香族系酸成分を全モル量の2~4mol%、(c) ドセニルコノク酸、オクチルコハク酸及びその無水物よりも選ばれ

13

た2種の酸成分を全モル量の1.2~1.8mol%、(d) ブロボキシル、またはノ/及びエトキシ化したエーテル化ジフェノール成分を全モルモード量の0.1%。

[0049] 次の実施例について図5により説明する。

[0050] 図5において弾性フレード3は、ウレタンゴム、リン青銅等の強性を有する部材から成り、トナーの帶電性とは逆歯生に且つ強く帶電する性質を有するシート状の部材2がトナーと密接する部分に貼り付けである。

[0051] 本実施例に用いたトナーは色帶電性を示すため、シート部材ヒートは強く正に帶電する特性を示すナイン、セロファン等を用いるが、対摩耗性、環境安定性の点からナイロンが好ましい。

\* 裏表

[0052] 裏3にケレタンゴムのみのフレードと、ナイロンシートをウレタンゴムの表面に貼り付けたフレードを用いた場合での、各種環境下に於けるトナーの帶電量と画質の関係を示す。

[0053] 裏3の実験には非磁性トナーを用い、また、2.3°C、5.0%RHの環境下において、現像器、V<sub>s</sub>、V<sub>d</sub>、Mの設定は図1の実施例と同様に温度が1.5以上得られ、カブリも1%以下であったものである。

[0054] この比較検討を行うにあたり、常温常圧の環境下で両者の座標がほぼ等しくなるように、ウレタンゴムのみのフレードの場合、ナイロンシートを貼り付けたフレードに比べフレードの現像スリーブに対する当接圧を高く設定してある。

[0055]

[0056] 裏3から明らかのように、フレードがウレタンゴムのみの場合は、低温低湿環境下ではフレードの設定圧が高いためにトナーが過度にチャージアップし、湿度が不足しておらず、高湿高湿環境下ではトナーに一分子に帯電電荷を与える事ができず、反転カブリが発生している。一方、フレードに強ポジ帯電性的シートを用いた場合、ウレタンゴムのみよりも環境温度に左右されずに、確実にトナーに帯電電荷が与えられ、いる事がわかる。

[0057] 以上説明したように、フレードにトナーと逆性に密接するシートを用いる事により、実施例1の如く常温常圧の環境下で画像濃度とカブリを消す下まで安定して高画質を達成する事が可能になる。

[0058]

[0059]

[0060]

[0061]

[0062]

[0063]

[0064]

[0065]

[0066]

[0067]

[0068]

[0069]

[0070]

[0071]

[0072]

[0073]

[0074]

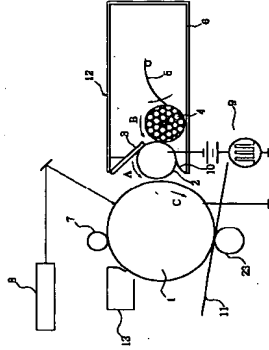
[0075]

(9)

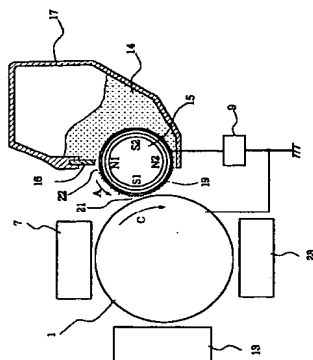
特開平6-194943

特開平6-194943

[図1]



[図2]



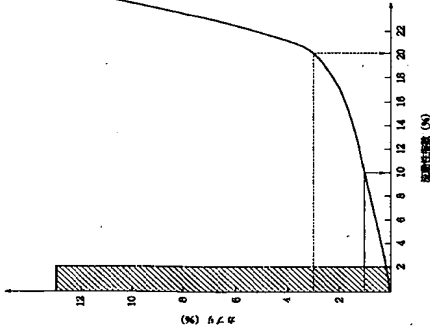
## フロントベージの焼き

(72) 発明者 小林 達也  
東京都大田区下丸子3丁目30番2号キャノン株式会社内

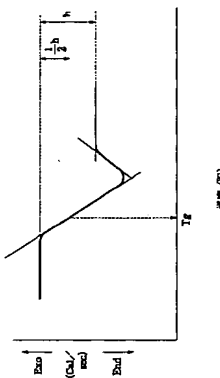
(72) 発明者 棚本 直樹  
東京都大田区下丸子3丁目30番2号キャノン株式会社内

(72) 発明者 小林 育志  
東京都大田区下丸子3丁目30番2号キャノン株式会社内

[図3]



[図4]



[図5]

